

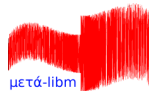
Algorithmique de l'implémentation fiable de filtres numériques

Quand le traitement de signal et
l'arithmétique des ordinateurs se rencontrent

Anastasia Volkova

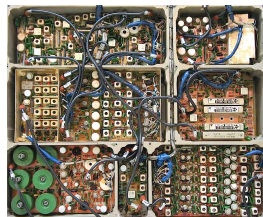
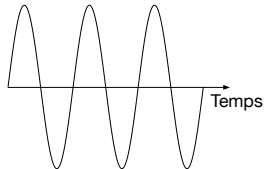
Directeur de thèse : Jean-Claude Bajard

Encadrants : Thibault Hilaire et Christoph Lauter



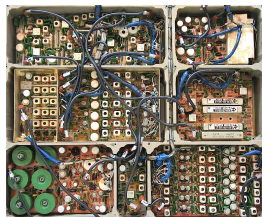
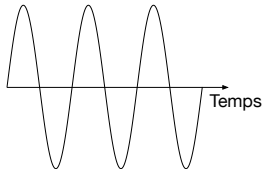
Des signaux partout

- Signaux analogiques : en temps continu

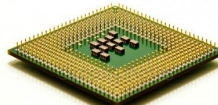
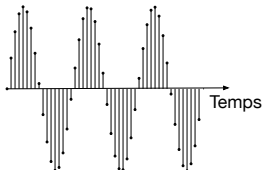


Des signaux partout

- Signaux analogiques : en temps continu



- Signaux numériques : en temps discret



Applications : systèmes fiables

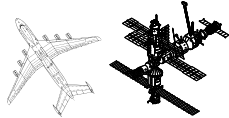
Filtres numériques :

Algorithmes de transformation de signaux numériques

- Pas besoin de garanties dans la majorité d'applications



- Une garantie est obligatoire pour d'autres applications.



Applications : systèmes fiables

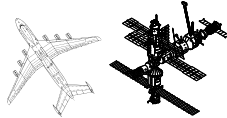
Filtres numériques :

Algorithmes de transformation de signaux numériques

- Pas besoin de garanties dans la majorité d'applications



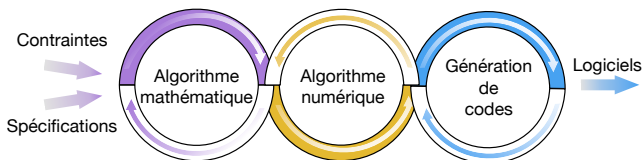
- Une garantie est obligatoire pour d'autres applications.



Nous nous intéressons aux garanties liées à l'implémentation d'algorithmes numériques, surtout dans les systèmes embarqués.

Automatisation

L'implémentation se fait en plusieurs étapes :



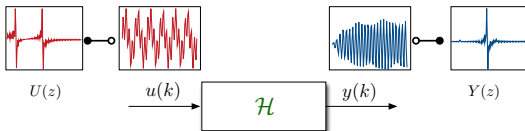
Plusieurs contraintes :

- performance
- surface
- précision
- consommation d'énergie
- mémoire
- etc.

Nous nous intéressons à un processus **automatique**
d'implémentations **fiable**.

Filtres

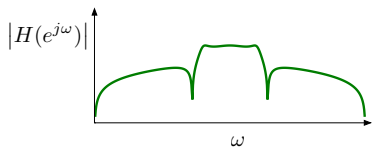
Domaine fréquentiel



Filtre linéaire \mathcal{H} : atténuation/amplification de propriétés **spectrales**

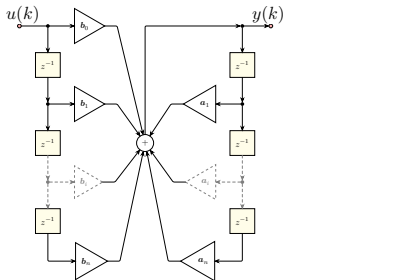
Fonction de transfert $H(z)$, $z \in \mathbb{C}$

$$H(z) = \frac{\sum_{i=0}^n b_i z^{-i}}{1 + \sum_{i=1}^n a_i z^{-i}}$$



Filtres

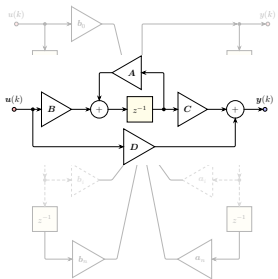
Domaine temporel



- $y(k) = \sum_{i=0}^n b_i u(k - i) - \sum_{i=1}^n a_i y(k - i)$

Filtres

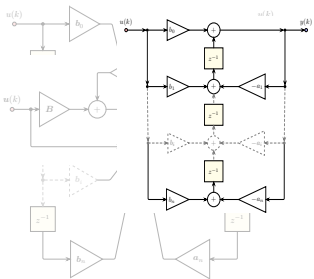
Domaine temporel



- $y(k) = \sum_{i=0}^n b_i u(k-i) - \sum_{i=1}^n a_i y(k-i)$
- $\begin{cases} \mathbf{x}(k+1) &= \mathbf{A}\mathbf{x}(k) + \mathbf{b}u(k) \\ y(k) &= \mathbf{c}\mathbf{x}(k) + du(k) \end{cases}$

Filtres

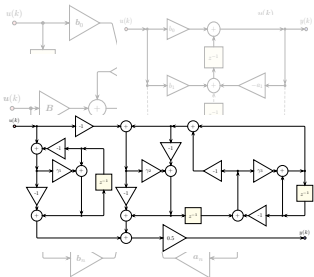
Domaine temporel



- $y(k) = \sum_{i=0}^n b_i u(k-i) - \sum_{i=1}^n a_i y(k-i)$
- $\begin{cases} \mathbf{x}(k+1) &= \mathbf{A}\mathbf{x}(k) + \mathbf{b}u(k) \\ y(k) &= \mathbf{c}\mathbf{x}(k) + du(k) \end{cases}$
- ...

Filtres

Domaine temporel



$$\bullet \quad y(k) = \sum_{i=0}^n b_i u(k-i) - \sum_{i=1}^m a_i y(k-i)$$

$$\bullet \quad \begin{cases} \mathbf{x}(k+1) &= \mathbf{A}\mathbf{x}(k) + \mathbf{b}u(k) \\ y(k) &= \mathbf{c}\mathbf{x}(k) + du(k) \end{cases}$$

...

Algorithme typique : entrée $u(k)$, état interne $\mathbf{x}(k)$, sortie $y(k)$

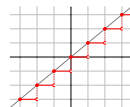
Mathématiquement, les différents algorithmes calculent la même sortie.

Algorithmes numériques

Le choix de l'arithmétique et de ses paramètres détermine la qualité numérique de l'implémentation de l'algorithme.

Pourquoi ?

- les signaux sont discrets en valeur
- les instructions pour l'évaluation peuvent induire des erreurs
- la propagation et la compensation des erreurs dépendent des instructions

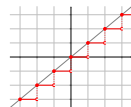


Algorithmes numériques

Le choix de l'arithmétique et de ses paramètres détermine la qualité numérique de l'implémentation de l'algorithme.

Pourquoi ?

- les signaux sont discrets en valeur
- les instructions pour l'évaluation peuvent induire des erreurs
- la propagation et la compensation des erreurs dépendent des instructions



De plus, le choix de l'arithmétique et de ses paramètres influencent:

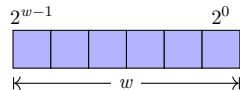
- la vitesse de calculs
- la surface
- ...



Arithmétiques

- Arithmétique entière :

$$y = Y$$



Arithmétiques

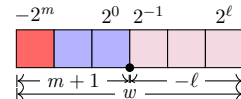
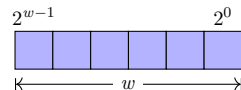
- Arithmétique entière :

$$y = Y$$

- Arithmétique virgule fixe :

$$y = Y \cdot 2^\ell$$

où ℓ est un facteur *implicite*



Arithmétiques

- Arithmétique entière :

$$y = Y$$

- Arithmétique virgule fixe :

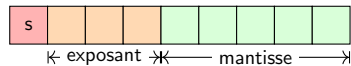
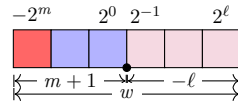
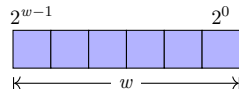
$$y = Y \cdot 2^\ell$$

où ℓ est un facteur *implicite*

- Arithmétique virgule flottante :

$$y = (-1)^s \cdot Y \cdot 2^e$$

où e est un facteur *explicite*



Arithmétiques

- Arithmétique entière :

$$y = Y$$

- Arithmétique virgule fixe :

$$y = Y \cdot 2^\ell$$

où ℓ est un facteur *implicite*

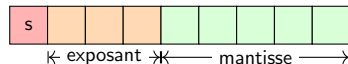
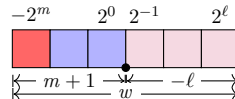
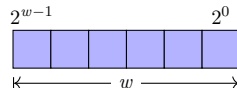
- Arithmétique virgule flottante :

$$y = (-1)^s \cdot Y \cdot 2^e$$

où e est un facteur *explicite*

- Arithmétique d'intervalles :

$$[\underline{y}, \bar{y}] = \{ y \in \mathbb{R} \mid \underline{y} \leq y \leq \bar{y} \}$$



Arithmétiques

- Arithmétique entière :

$$y = Y$$

- Arithmétique virgule fixe :

$$y = Y \cdot 2^\ell$$

où ℓ est un facteur *implicite*

- Arithmétique virgule flottante :

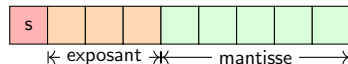
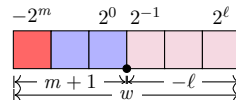
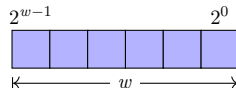
$$y = (-1)^s \cdot Y \cdot 2^e$$

où e est un facteur *explicite*

- Arithmétique d'intervalles :

$$[\underline{y}, \bar{y}] = \{ y \in \mathbb{R} \mid \underline{y} \leq y \leq \bar{y} \}$$

- Arithmétique multi-précision : la taille de la mantisse varie dynamiquement



Arithmétiques

- Arithmétique virgule fixe :

$$y = Y \cdot 2^\ell$$

où ℓ est un facteur *implicite*

Pour l'implémentation

- Arithmétique virgule flottante :

$$y = (-1)^s \cdot Y \cdot 2^e$$

où e est un facteur *explicite*

Pour l'analyse d'erreur

- Arithmétique d'intervalles :

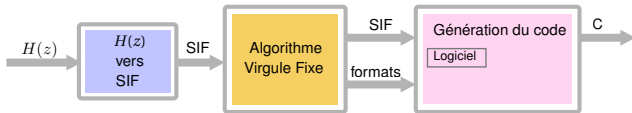
$$[\underline{y}, \bar{y}] = \{y \in \mathbb{R} \mid \underline{y} \leq y \leq \bar{y}\}$$

Pour l'analyse d'erreur

- Arithmétique multi-précision : la taille de la mantisse varie dynamiquement

Pour l'analyse d'erreur

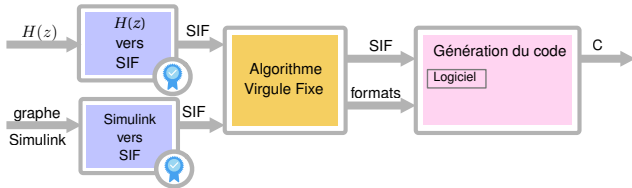
Algorithmique de l'implémentation fiable de filtres



Avant cette thèse

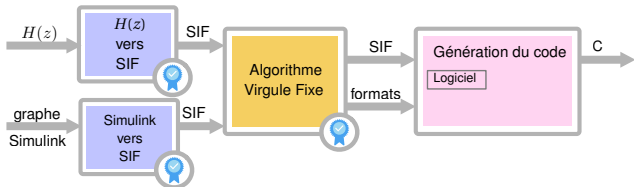
- Une unification de la représentation des filtres (SIF)
 - Plusieurs algorithmes sont déjà décrits manuellement en SIF.
- Implémentation virgule fixe unifiée, mais pas fiable
- Génération de C pour le logiciel

Algorithmique de l'implémentation fiable de filtres



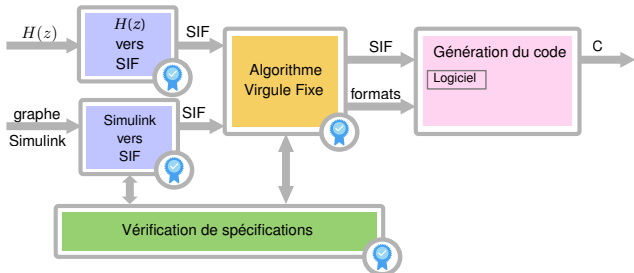
- Une unification de la représentation des filtres (SIF)
 - Plusieurs algorithmes sont déjà décrits manuellement en SIF.
 - **Formats d'entrée supplémentaires**
- Implémentation virgule fixe unifiée, mais pas fiable
- Génération de C pour le logiciel

Algorithmique de l'implémentation fiable de filtres



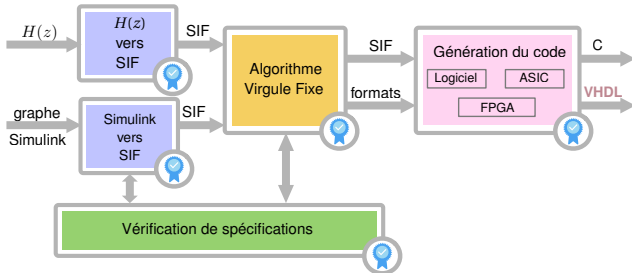
- Une unification de la représentation des filtres (SIF)
 - Plusieurs algorithmes sont déjà décrits manuellement en SIF.
 - **Formats d'entrée supplémentaires**
- Implémentation virgule fixe unifiée, **fiable**
- Génération de C pour le logiciel

Algorithmique de l'implémentation fiable de filtres



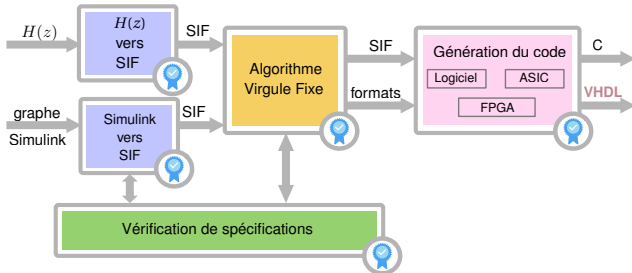
- Une unification de la représentation des filtres (SIF)
 - Plusieurs algorithmes sont déjà décrits manuellement en SIF.
 - **Formats d'entrée supplémentaires**
- Implémentation virgule fixe unifiée, **fiable** (with a blue checkmark icon) et **vérifiée**
- Génération de C pour le logiciel

Algorithmique de l'implémentation fiable de filtres



- Une unification de la représentation des filtres (SIF)
 - Plusieurs algorithmes sont déjà décrits manuellement en SIF.
 - **Formats d'entrée supplémentaires**
- Implémentation virgule fixe unifiée, **fiable** (blue checkmark) et **vérifiée** (green checkmark)
- Génération de C pour le logiciel **et de VHDL pour des FPGA**

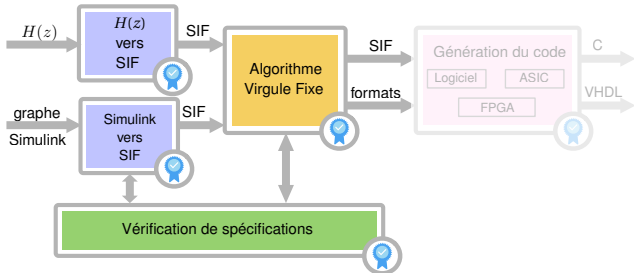
Algorithmique de l'implémentation fiable de filtres



- Une unification de la représentation des filtres (SIF)
 - Plusieurs algorithmes sont déjà décrits manuellement en SIF.
 - **Formats d'entrée supplémentaires**
- Implémentation virgule fixe unifiée, **fiable** (blue checkmark) et **vérifiée** (green checkmark)
- Génération de C pour le logiciel **et de VHDL pour des FPGA**

Production scientifique : 9 publications

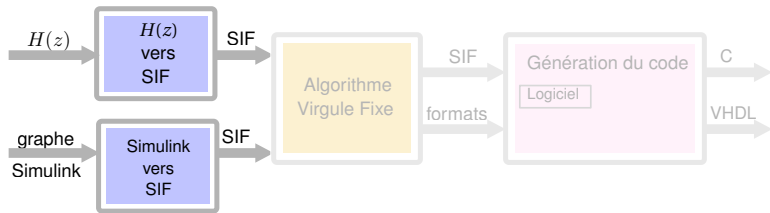
Algorithmique de l'implémentation fiable de filtres



- Une unification de la représentation des filtres (SIF)
 - Plusieurs algorithmes sont déjà décrits manuellement en SIF.
 - **Formats d'entrée supplémentaires**
- Implémentation virgule fixe unifiée, **fiable** et **vérifiée**
- Génération de C pour le logiciel **et de VHDL pour des FPGA**

Production scientifique : 9 publications

Formats d'entrée supplémentaires



SIF : *Forme Implicite Spécialisée*

- Forme matricielle basée sur un système d'équations linéaires
 - ☞ Différente de celle par graphes
- L'ordre de calcul est exprimé dans les équations.
- Tous les systèmes linéaires sont exprimables en SIF.

SIF : *Forme Implicite Spécialisée*

- Forme matricielle basée sur un système d'équations linéaires
 - ☞ Différente de celle par graphes
- L'ordre de calcul est exprimé dans les équations.
- Tous les systèmes linéaires sont exprimables en SIF.

Idée de base :

$$y = m_2 m_1 u$$

SIF : *Forme Implicite Spécialisée*

- Forme matricielle basée sur un système d'équations linéaires
 - ☞ Différente de celle par graphes
- L'ordre de calcul est exprimé dans les équations.
- Tous les systèmes linéaires sont exprimables en SIF.

Idée de base :

$$y \leftarrow m_2(m_1 u)$$

$$1: t \leftarrow m_1 u$$

$$2: y \leftarrow m_2 t$$

SIF : *Forme Implicite Spécialisée*

- Forme matricielle basée sur un système d'équations linéaires
 - ☞ Différente de celle par graphes
- L'ordre de calcul est exprimé dans les équations.
- Tous les systèmes linéaires sont exprimables en SIF.

Idée de base :

$$y \leftarrow m_2(m_1 u)$$

$$1: t \leftarrow m_1 u$$

$$2: y \leftarrow m_2 t$$

$$\begin{pmatrix} 1 & 0 \\ -m_2 & 1 \end{pmatrix} \begin{pmatrix} t \\ y \end{pmatrix} = \begin{pmatrix} m_1 \\ 0 \end{pmatrix} u$$

SIF : *Forme Implicite Spécialisée*

- Forme matricielle basée sur un système d'équations linéaires
 - ☞ Différente de celle par graphes
- L'ordre de calcul est exprimé dans les équations.
- Tous les systèmes linéaires sont exprimables en SIF.

Idée de base :

$$y \leftarrow m_2(m_1 u)$$

$$1: t \leftarrow m_1 u$$

$$2: y \leftarrow m_2 t$$

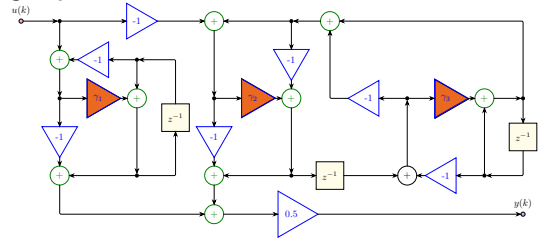
$$\begin{pmatrix} 1 & 0 \\ -m_2 & 1 \end{pmatrix} \begin{pmatrix} t \\ y \end{pmatrix} = \begin{pmatrix} m_1 \\ 0 \end{pmatrix} u$$

Contributions :

- Conversion des Lattice Wave Digital Filters vers SIF
- Conversion automatique de graphes Simulink vers SIF

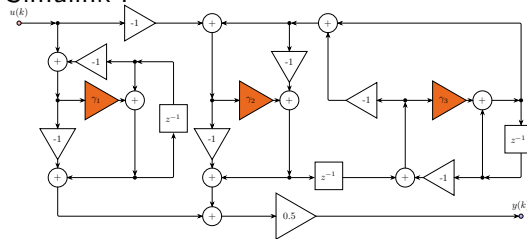
Conversion à partir de Simulink

Simulink :

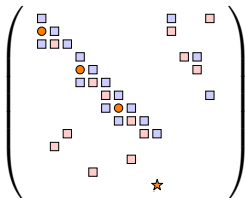


$$\gamma_1 = 89 \cdot 2^{-8}, \gamma_2 = 43 \cdot 2^{-7}, \gamma_3 = 11 \cdot 2^{-7}$$

Conversion à partir de Simulink



SIF :



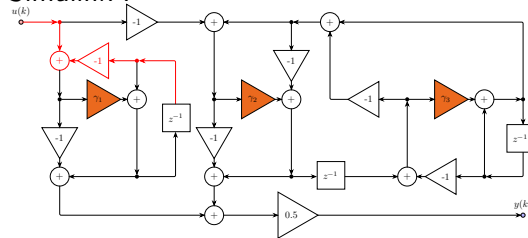
$$\gamma_1 = 89 \cdot 2^{-8}, \gamma_2 = 43 \cdot 2^{-7}, \gamma_3 = 11 \cdot 2^{-7}$$

Idée clé de notre algorithme de conversion :

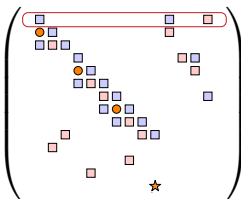
- Identification des entrées, sorties, états, variables temporaires
 - Construction des équations
 - Tri topologique
 - Recopie exacte des coefficients

Conversion à partir de Simulink

Simulink :



SIF :



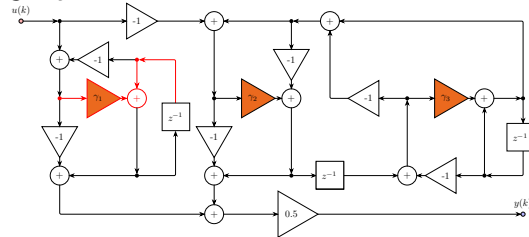
$$\gamma_1 = 89 \cdot 2^{-8}, \gamma_2 = 43 \cdot 2^{-7}, \gamma_3 = 11 \cdot 2^{-7}$$

Idée clé de notre algorithme de conversion :

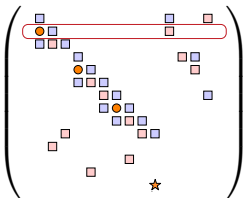
- Identification des entrées, sorties, états, variables temporaires
- Construction des équations
- Tri topologique
- Recopie exacte des coefficients

Conversion à partir de Simulink

Simulink :



SIF :

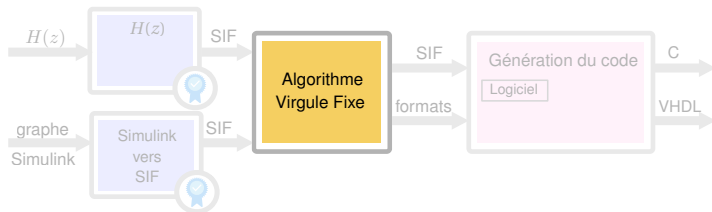


$$\gamma_1 = 89 \cdot 2^{-8}, \gamma_2 = 43 \cdot 2^{-7}, \gamma_3 = 11 \cdot 2^{-7}$$

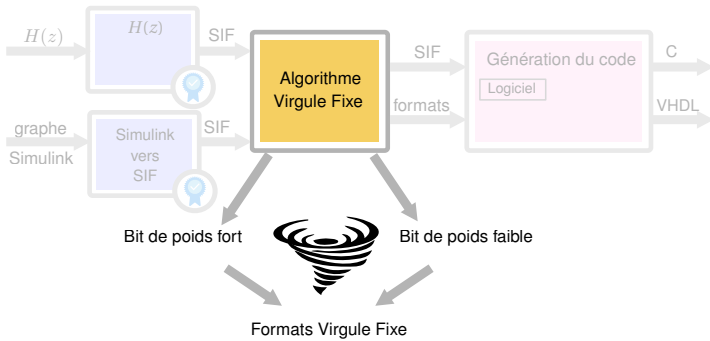
Idée clé de notre algorithme de conversion :

- Identification des entrées, sorties, états, variables temporaires
- Construction des équations
- Tri topologique
- Recopie exacte des coefficients

Algorithmes numériques fiables



Algorithmes numériques fiables

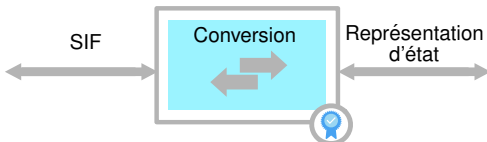


Représentation d'état

Représentation d'état d'un filtre linéaire \mathcal{H} :

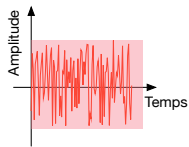
$$\mathcal{H} \left\{ \begin{array}{rcl} \mathbf{x}(k+1) & = & \mathbf{A}\mathbf{x}(k) + \mathbf{b}u(k) \\ y(k) & = & \mathbf{c}\mathbf{x}(k) + du(k) \end{array} \right.$$

Les conversions entre SIF et représentation d'état sont exactes.

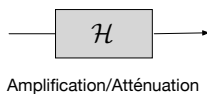
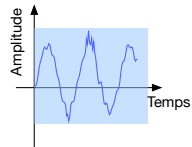


Dynamique des variables

Worst-Case Peak Gain

Entrée $u(k)$ 

Filtre stable

Sortie $y(k)$ 

$$\forall k, |u(k)| \leq \bar{u}$$

$$\forall k, |y(k)| \leq \langle\langle \mathcal{H} \rangle\rangle \bar{u}$$

Worst-Case Peak Gain : $\langle\langle \mathcal{H} \rangle\rangle = \|h\|_1 = |d| + \sum_{k=0}^{\infty} |cA^k b|$

Problème du choix des formats

- **Contraintes** : largeur w_y fixée pour la variable de sortie y
- **But** : pas de dépassemens, borne rigoureuse sur les erreurs
- **Bonus** : minimiser les erreurs

Problème du choix des formats

- **Contraintes** : largeur w_y fixée pour la variable de sortie y
- **But** : pas de dépassemens, borne rigoureuse sur les erreurs
- **Bonus** : minimiser les erreurs

$$\mathcal{H} \left\{ \begin{array}{rcl} \boldsymbol{x}(k+1) & = & \boldsymbol{A}\boldsymbol{x}(k) + \boldsymbol{b}u(k) \\ y(k) & = & \boldsymbol{c}\boldsymbol{x}(k) + du(k) \end{array} \right.$$

Problème : trouver le plus petit m_y tel que pour tout k

$$|y(k)| \leq 2^{m_y} (1 - 2^{-w_y+1})$$

Problème du choix des formats

- **Contraintes** : largeur w_y fixée pour la variable de sortie y
- **But** : pas de dépassemens, borne rigoureuse sur les erreurs
- **Bonus** : minimiser les erreurs

$$\mathcal{H} \begin{cases} \mathbf{x}(k+1) &= \mathbf{A}\mathbf{x}(k) + \mathbf{b}u(k) \\ y(k) &= \mathbf{c}\mathbf{x}(k) + du(k) \end{cases}$$

Problème : trouver le plus petit m_y tel que pour tout k

$$\langle\langle \mathcal{H} \rangle\rangle \bar{u} = |y(k)| \leq 2^{m_y} (1 - 2^{-w_y+1})$$

Solution mathématique :

$$m_y = \lceil \log_2 (\langle\langle \mathcal{H} \rangle\rangle \bar{u}) - \log_2 (1 - 2^{1-w_y}) \rceil$$

Problème du choix des formats

- **Contraintes** : largeur w_y fixée pour la variable de sortie y
- **But** : pas de dépassemens, borne rigoureuse sur les erreurs
- **Bonus** : minimiser les erreurs

$$\mathcal{H} \left\{ \begin{array}{rcl} \mathbf{x}(k+1) & = & \mathbf{A}\mathbf{x}(k) + \mathbf{b}u(k) \\ y(k) & = & \mathbf{c}\mathbf{x}(k) + du(k) \end{array} \right.$$

Problème : trouver le plus petit m_y tel que pour tout k

$$\langle\langle \mathcal{H} \rangle\rangle \bar{u} = |y(k)| \leq 2^{m_y} (1 - 2^{-w_y+1})$$

Solution mathématique :

$$m_y = \lceil \log_2 (\langle\langle \mathcal{H} \rangle\rangle \bar{u}) - \log_2 (1 - 2^{1-w_y}) \rceil$$

Solution pratique : contrôler la précision du WCPG pour que

$$0 \leq \hat{m}_y - m_y \leq 1$$

Rebouclage des erreurs de calcul

Filtre exact \mathcal{H} est :

$$\mathcal{H} \quad \left\{ \begin{array}{rcl} \boldsymbol{x}(k+1) & = & \boldsymbol{Ax}(k) + \boldsymbol{bu}(k) \\ \boldsymbol{y}(k) & = & \boldsymbol{cx}(k) + du(k) \end{array} \right.$$

Rebouclage des erreurs de calcul

Filtre implémenté \mathcal{H}^\diamond est :

$$\mathcal{H}^\diamond \left\{ \begin{array}{lcl} \boldsymbol{x}^\diamond(k+1) & = & \diamond_{\boldsymbol{m}_x}(\boldsymbol{A}\boldsymbol{x}^\diamond(k) + \boldsymbol{b}u(k)) \\ y^\diamond(k) & = & \diamond_{\boldsymbol{m}_y}(\boldsymbol{c}\boldsymbol{x}^\diamond(k) + du(k)) \end{array} \right.$$

ou \diamond_m est un opérateur qui garantit l'arrondi fidèle :

$$|\diamond_m(x) - x| \leq 2^{m-w+1}$$

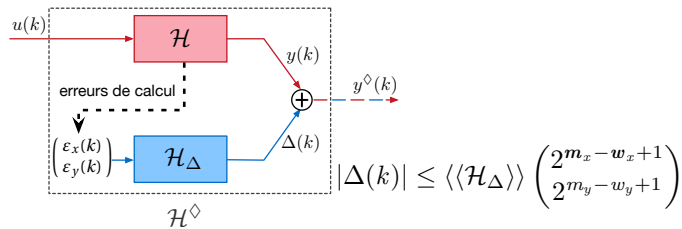
Rebouclage des erreurs de calcul

Filtre implémenté \mathcal{H}^\diamond est :

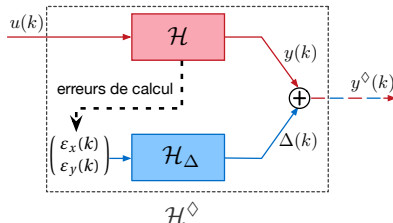
$$\mathcal{H}^\diamond \left\{ \begin{array}{rcl} \mathbf{x}^\diamond(k+1) & = & \mathbf{A}\mathbf{x}^\diamond(k) + \mathbf{b}u(k) + \boldsymbol{\varepsilon}_x(k) \\ y^\diamond(k) & = & \mathbf{c}\mathbf{x}^\diamond(k) + du(k) + \boldsymbol{\varepsilon}_y(k) \end{array} \right.$$

avec

$$|\boldsymbol{\varepsilon}_x(k)| \leq 2^{m_x - w_x + 1} \quad \text{et} \quad |\boldsymbol{\varepsilon}_y(k)| \leq 2^{m_y - w_y + 1}$$



Algorithme fiable



- ① Estimation initiale de la position du bit de poids fort m_y pour le filtre exact \mathcal{H}
- ② Prise en compte des erreurs induites par le format choisi à l'aide du filtre \mathcal{H}_Δ , puis calcul du bit de poids fort m_y^\diamond
- ③ Si $m_y^\diamond = m_y$, renvoyer m_y^\diamond
sinon $m_y \leftarrow m_y + 1$ et retourner à l'étape 2

Exemple numérique

Largeurs : 16 bits

Entrées : $\forall k, -1 \leq u(k) < 1$

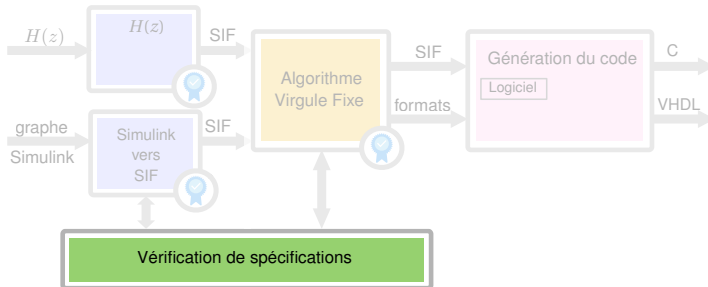
Formats virgule fixe :

	u	x_1	x_2	x_3	y
bit de poids fort	0	5	5	5	1
bit de poids faible	-15	-10	-10	-10	-14

Borne sur l'erreur : $|\Delta(k)| \leq 2^{-9}$

Temps : 0.012 s

Retour vers le générateur

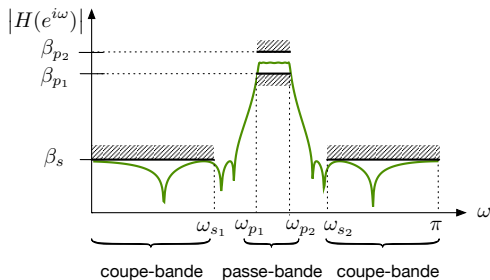


Spécifications fréquentielles

Réponse fréquentielle :

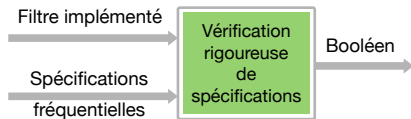
$$H(e^{j\omega}) = \underbrace{|H(e^{j\omega})|}_{\text{module}} e^{\overbrace{\angle H(e^{j\omega})}^{\text{phase}}}$$

Spécifications :

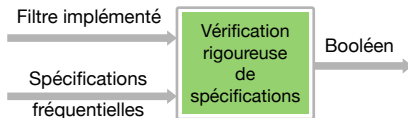


$$\underline{\beta} \leq |H(e^{j\omega})| \leq \bar{\beta}, \quad \forall \omega \in [\omega_1, \omega_2] \subseteq [0, \pi]$$

Vérification d'une implémentation



Vérification d'une implémentation



Approches existantes :

- par simulations
- réponse fréquentielle approchée

Notre approche fiable :

- pas de simulation, seulement preuves
- arithmétiques rationnelle et d'intervalles

But :

- Garantie d'implémentation
- Calcul rapide de cette garantie

Vérification d'une fonction de transfert

Nous avons besoin de montrer que $\forall z = e^{j\omega}, \omega \in \Omega \subseteq [0, \pi]$

$$\underline{\beta} \leq |H(z)| \leq \overline{\beta}$$

Vérification d'une fonction de transfert

Nous avons besoin de montrer que $\forall z = e^{j\omega}, \omega \in \Omega \subseteq [0, \pi]$

$$\underline{\beta}^2 \leq |H(z)|^2 \leq \overline{\beta}^2$$

Vérification d'une fonction de transfert

Nous avons besoin de montrer que $\forall z = e^{j\omega}, \omega \in \Omega \subseteq [0, \pi]$

$$\underline{\beta}^2 \leq |H(z)|^2 \leq \overline{\beta}^2$$

où

$$|H(z)|^2 = \frac{|b(z)|^2}{|a(z)|^2} = \frac{b(z)\overline{b(\bar{z})}}{a(z)\overline{a(\bar{z})}} = \frac{b(z)b(\frac{1}{z})}{a(z)a(\frac{1}{z})} =: \frac{v(z)}{w(z)},$$

$v(z)$ et $w(z)$ sont des polynômes à coefficients réels.

Simplification du problème

$$\underline{\beta}^2 \leq \frac{v(z)}{w(z)} \leq \bar{\beta}^2$$

$$\begin{aligned} z &= e^{j\omega} \\ \forall \omega \in \Omega &\subseteq [0, \pi] \end{aligned}$$

Simplification du problème

$$\underline{\beta}^2 \leq \frac{v(z)}{w(z)} \leq \bar{\beta}^2$$

$$z = e^{j\omega}$$
$$\forall \omega \in \Omega \subseteq [0, \pi]$$

Pas besoin de gérer les complexes

Changement de variable : $t = \tan \frac{\omega}{2}$

$$z = e^{j\omega} = \frac{1 - t^2}{1 + t^2} + j \frac{2t}{1 + t^2}$$

Simplification du problème

$$\underline{\beta}^2 \leq \frac{v(z)}{w(z)} \leq \bar{\beta}^2$$

$$\underline{\beta}^2 \leq \frac{v\left(\frac{1-t^2}{1+t^2} + j\frac{2t}{1+t^2}\right)}{w\left(\frac{1-t^2}{1+t^2} + j\frac{2t}{1+t^2}\right)} \leq \bar{\beta}^2$$

$$\begin{aligned} z &= e^{j\omega} \\ \forall \omega \in \Omega &\subseteq [0, \pi] \\ \downarrow \\ t &= \tan \frac{\omega}{2} \\ \forall \omega \in \Omega &\subseteq [0, \pi] \\ t &\in [-\infty, \infty] \end{aligned}$$

Simplification du problème

$$\underline{\beta}^2 \leq \frac{v(z)}{w(z)} \leq \bar{\beta}^2$$

$$\underline{\beta}^2 \leq \underbrace{\frac{r(t) + j\mathbb{J}(t)}{s(t) + j\mathbb{I}(t)}}_{\in \mathbb{R} \text{ car } |H(z)|^2} \leq \bar{\beta}^2$$

$$\begin{aligned} z &= e^{j\omega} \\ \forall \omega \in \Omega &\subseteq [0, \pi] \\ &\downarrow \\ t &= \tan \frac{\omega}{2} \\ \forall \omega \in \Omega &\subseteq [0, \pi] \\ t &\in [-\infty, \infty] \end{aligned}$$

Polynômes $r, s, \mathbb{J}, \mathbb{I} \in \mathbb{R}[t]$

Simplification du problème

$$\underline{\beta}^2 \leq \frac{v(z)}{w(z)} \leq \bar{\beta}^2$$

$$\underline{\beta}^2 \leq \frac{r(t)}{s(t)} \leq \bar{\beta}^2$$

$$\begin{aligned} z &= e^{j\omega} \\ \forall \omega \in \Omega &\subseteq [0, \pi] \\ &\downarrow \\ t &= \tan \frac{\omega}{2} \\ \forall \omega \in \Omega &\subseteq [0, \pi] \\ t &\in [-\infty, \infty] \end{aligned}$$

Maintenant, on ne travaille qu'avec des réels.

$t = \tan \frac{\omega}{2}$ envoie ω sur tout \mathbb{R}

Changement de variable : $\xi = \frac{t+2-\sqrt{t^2+4}}{2t}$

Simplification du problème

$$\underline{\beta}^2 \leq \frac{v(z)}{w(z)} \leq \bar{\beta}^2$$

$$\underline{\beta}^2 \leq \frac{r(t)}{s(t)} \leq \bar{\beta}^2$$

$$\underline{\beta}^2 \leq \frac{r\left(\frac{1-2\xi}{\xi(1-\xi)}\right)}{s\left(\frac{1-2\xi}{\xi(1-\xi)}\right)} \leq \bar{\beta}^2$$

$$\begin{aligned} z &= e^{j\omega} \\ \forall \omega \in \Omega &\subseteq [0, \pi] \end{aligned}$$

$$\begin{aligned} t &= \tan \frac{\omega}{2} \\ \forall \omega \in \Omega &\subseteq [0, \pi] \\ t &\in [-\infty, \infty] \end{aligned}$$

$$\begin{aligned} \xi &= \frac{t+2-\sqrt{t^2+4}}{2t} \\ \xi &\in \Xi \subseteq [0, 1] \end{aligned}$$

Simplification du problème

$$\underline{\beta}^2 \leq \frac{v(z)}{w(z)} \leq \bar{\beta}^2$$

$$\underline{\beta}^2 \leq \frac{r(t)}{s(t)} \leq \bar{\beta}^2$$

$$\underline{\beta}^2 \leq \frac{p(\xi)}{q(\xi)} \leq \bar{\beta}^2$$

$$\begin{aligned} z &= e^{j\omega} \\ \forall \omega \in \Omega &\subseteq [0, \pi] \end{aligned}$$

$$\begin{aligned} t &= \tan \frac{\omega}{2} \\ \forall \omega \in \Omega &\subseteq [0, \pi] \\ t &\in [-\infty, \infty] \end{aligned}$$

$$\begin{aligned} \xi &= \frac{t+2-\sqrt{t^2+4}}{2t} \\ \xi &\in \Xi \subseteq [0, 1] \end{aligned}$$

Même plus simple

Le problème se résume à montrer que $\forall \xi \in \Xi \subseteq [0, 1]$

$$f(\xi) \geq 0$$

avec $f \in \mathbb{R}[\xi]$ donné par

$$f(\xi) = q(\xi)^2 \left(\overline{\beta}^2 - \underline{\beta}^2 \right)^2 - \left(p(\xi) - \left(\underline{\beta}^2 + \overline{\beta}^2 \right) q(\xi) \right)^2$$

Même plus simple

Le problème se résume à montrer que $\forall \xi \in \Xi \subseteq [0, 1]$

$$f(\xi) \geq 0$$

avec $f \in \mathbb{R}[\xi]$ donné par

$$f(\xi) = q(\xi)^2 \left(\overline{\beta}^2 - \underline{\beta}^2 \right)^2 - \left(p(\xi) - \left(\underline{\beta}^2 + \overline{\beta}^2 \right) q(\xi) \right)^2$$

Vérification que f est positif ou nul

Notre algorithme est basé sur :

- la technique de Sturm qui donne le nombre de zéros réels d'un polynôme
- une subdivision en sous-intervalles
- des évaluations en arithmétique d'intervalles multi-précision

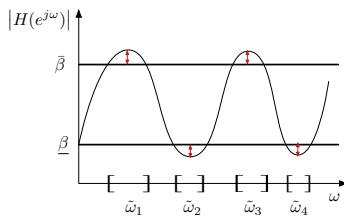
Algorithme de vérification

La fonction de transfert vérifie-t-elle les spécifications fréquentielles?

Oui



Non



Calcul de la fonction de transfert



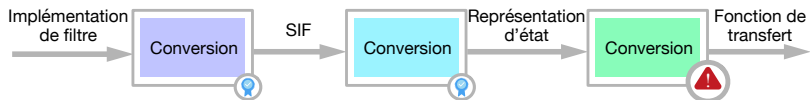
Calcul de la fonction de transfert



Fonction de transfert de la représentation d'état :

$$H(z) = \mathbf{c}(z\mathbf{I} - \mathbf{A})^{-1}\mathbf{b} + d$$

Calcul de la fonction de transfert



Fonction de transfert de la représentation d'état :

$$H(z) = \mathbf{c}(\mathbf{zI} - \mathbf{XEX}^{-1})^{-1}\mathbf{b} + d$$

Nous calculons une approximation $\hat{H}(z)$ de $H(z)$:

$$\hat{H}(z) = \frac{\sum_i \hat{b}_i z^{-i}}{\sum_i \hat{a}_i z^{-i}}$$

☞ L'erreur $\left| (H - \hat{H})(e^{j\omega}) \right|$ peut être rendue arbitrairement petite.

Calcul de la fonction de transfert



Fonction de transfert de la représentation d'état :

$$H(z) = \mathbf{c}(z\mathbf{I} - \mathbf{X}\mathbf{E}\mathbf{X}^{-1})^{-1}\mathbf{b} + d$$

Nous calculons une approximation $\hat{H}(z)$ de $H(z)$:

$$\hat{H}(z) = \frac{\sum_i \hat{b}_i z^{-i}}{\sum_i \hat{a}_i z^{-i}}$$

☞ L'erreur $\left| (H - \hat{H})(e^{j\omega}) \right|$ peut être rendue arbitrairement petite.

Problème

Il nous faut une borne rigoureuse sur l'erreur $\left| (H - \hat{H})(e^{j\omega}) \right|$.

Comment borner l'erreur

Calcul de la fonction de transfert $H(z)$ d'une représentation d'état \mathcal{S}

\mathcal{S}

?

H

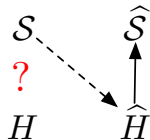
Comment borner l'erreur

Calcul de la fonction de transfert $H(z)$ d'une représentation d'état \mathcal{S}

$$\begin{array}{ccc} \mathcal{S} & \xrightarrow{\quad ? \quad} & \hat{H} \\ H & & \end{array}$$

Comment borner l'erreur

Calcul de la fonction de transfert $H(z)$ d'une représentation d'état \mathcal{S}



Transformation de \hat{H} vers $\hat{\mathcal{S}}$ est exacte :

$$\hat{\mathbf{A}} = \begin{pmatrix} -\hat{a}_1 & 1 & & \\ \vdots & & \ddots & \\ \vdots & & & 1 \\ -\hat{a}_n & 0 & \dots & 0 \end{pmatrix} \quad \hat{\mathbf{b}} = \begin{pmatrix} \hat{b}_1 - \hat{a}_1 \hat{b}_0 \\ \vdots \\ \hat{b}_n - \hat{a}_n \hat{b}_0 \end{pmatrix}$$

$$\hat{\mathbf{c}} = (1 \ 0 \ \dots \ 0) \quad \hat{d} = \hat{b}_0$$

Comment borner l'erreur

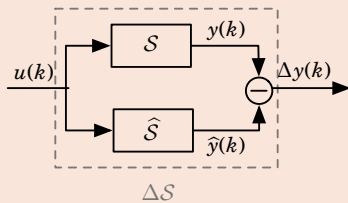
Calcul de la fonction de transfert $H(z)$ d'une représentation d'état \mathcal{S}

$$\mathcal{S} - \hat{\mathcal{S}} = \Delta\mathcal{S}$$

$\overset{?}{\mathcal{S}}$ $\hat{\mathcal{S}}$

$$H - \hat{H}$$

La différence de deux filtres est définie comme :



Comment borner l'erreur

Calcul de la fonction de transfert $H(z)$ d'une représentation d'état \mathcal{S}

$$\begin{array}{rcl} \mathcal{S} - \hat{\mathcal{S}} & = & \Delta \mathcal{S} \\ ? & & ? \\ H - \hat{H} & = & \Delta H \end{array}$$

Comment borner l'erreur

Calcul de la fonction de transfert $H(z)$ d'une représentation d'état \mathcal{S}

$$\begin{array}{ccc} \mathcal{S} & - & \widehat{\mathcal{S}} \\ ? & \searrow & \uparrow \\ H & - & \widehat{H} \end{array} = \Delta \mathcal{S}$$
$$= \Delta H$$

Relation entre $\Delta \mathcal{S}$ et ΔH :

$$\left| (H - \widehat{H})(e^{j\omega}) \right| \leq \langle \langle \Delta \mathcal{S} \rangle \rangle, \quad \forall \omega \in [0, 2\pi]$$

où $\langle \langle \Delta \mathcal{S} \rangle \rangle$ est encore une fois le WCPG du système $\Delta \mathcal{S}$.

Évaluation fiable du WCPG

WCPG fiable est nécessaire pour :

- déterminer la dynamique des variables
- analyser l'erreur induite par les calculs en précision finie
- borner l'erreur d'approximation d'une fonction de transfert

Évaluation fiable du WCPG

WCPG fiable est nécessaire pour :

- déterminer la dynamique des variables
- analyser l'erreur induite par les calculs en précision finie
- borner l'erreur d'approximation d'une fonction de transfert

Problème dans le cas de filtres MIMO

Calculer S , approximation de la matrice

$$\langle\langle \mathcal{H} \rangle\rangle = |\mathbf{D}| + \sum_{k=0}^{\infty} \left| \mathbf{C} \mathbf{A}^k \mathbf{B} \right|,$$

telle que pour un ε donné *a priori*

$$|\langle\langle \mathcal{H} \rangle\rangle - S| < \varepsilon$$

 Nous utilisons une arithmétique en *multi-précision dynamique*.

Borne de troncature

Nous cherchons N tel que l'erreur de troncature vérifie

$$\left| \sum_{k=0}^{\infty} |CA^k B| - \sum_{k=0}^N |CA^k B| \right| \leq \varepsilon_1$$

Solution mathématique : *Solution pratique :*

$$N \geq \left\lceil \frac{\log_2 \frac{\varepsilon_1}{\|M\|_{min}}}{\log_2 \rho(\mathbf{A})} \right\rceil$$

- Valeurs propres calculées avec LAPACK
- Arithmétique d'intervalles
- Théorie des Inclusions Vérifiées (Rump)

où

$$\mathbf{M} = \sum_{l=1}^n \frac{|\mathbf{R}_l|}{1-|\boldsymbol{\lambda}_l|} \frac{|\boldsymbol{\lambda}_l|}{\rho(\mathbf{A})}$$

$$(\mathbf{R}_l)_{i,j} = \mathbf{C}_{i,l} \mathbf{B}_{l,j}$$

Évaluation : mise à la puissance

$$\sum_{k=0}^N |C \mathbf{A}^k B|$$

Nous proposons :

$$\mathbf{A} = \mathbf{X} \mathbf{E} \mathbf{X}^{-1}$$

$$\text{d'où } \mathbf{A}^k = \mathbf{X} \mathbf{E}^k \mathbf{X}^{-1}$$

où

\mathbf{X} sont les vecteurs propres

\mathbf{E} sont les valeurs propres

Évaluation : mise à la puissance

$$\left| \sum_{k=0}^N \left| C \mathbf{A}^k B \right| - \sum_{k=0}^N \left| C \mathbf{V} \mathbf{T}^k \mathbf{V}^{-1} B \right| \right| \leq \varepsilon_2$$

Nous proposons :

$$\mathbf{A} = \mathbf{X} \mathbf{E} \mathbf{X}^{-1}$$

$$\text{d'où } \mathbf{A}^k = \mathbf{X} \mathbf{E}^k \mathbf{X}^{-1}$$

En pratique :

$$\mathbf{V} \approx \mathbf{X} \quad \text{et} \quad \mathbf{T} = \mathbf{V}^{-1} \mathbf{A} \mathbf{V} + \Delta$$

où

\mathbf{X} sont les vecteurs propres

\mathbf{E} sont les valeurs propres

- Opérations en multi-précision avec la borne de l'erreur donnée *a priori*
- Δ est contrôlée pour satisfaire la borne ε_2 sur l'erreur propagée
- $\|\mathbf{T}\|_2 \leq 1$ vérifié rigoureusement avec le théorème de Gershgorin

Évaluation : sommation

Nous continuons par analogie

$$\left| \sum_{k=0}^N |\textcolor{red}{C} \textcolor{red}{V} \textcolor{black}{T}^k \textcolor{red}{V}^{-1} \textcolor{black}{B}| - \sum_{k=0}^N |\textcolor{red}{C}' \textcolor{black}{T}^k \textcolor{red}{B}'| \right| \leq \varepsilon_3$$

$$\left| \sum_{k=0}^N |\textcolor{red}{C}' \textcolor{red}{T}^k \textcolor{black}{B}'| - \sum_{k=0}^N |\textcolor{red}{C}' \textcolor{red}{P}_k \textcolor{black}{B}'| \right| \leq \varepsilon_4$$

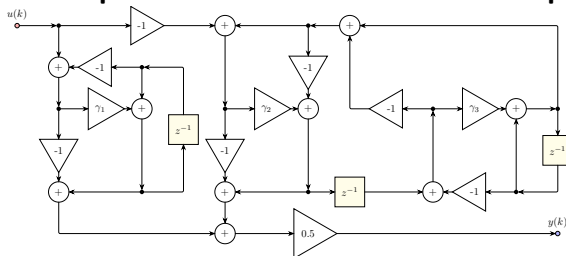
$$\left| \sum_{k=0}^N |\textcolor{red}{C}' \textcolor{red}{P}_k \textcolor{black}{B}'| - \sum_{k=0}^N |\textcolor{red}{L}_k| \right| \leq \varepsilon_5$$

$$\left| \sum_{k=0}^N |\textcolor{red}{L}_k| - |\textcolor{red}{S}_N| \right| \leq \varepsilon_6$$

☞ **Trois briques de base :** $\textcolor{green}{X} \textcolor{black}{Y} + \textcolor{black}{Z}$, $\textcolor{blue}{X} + |\textcolor{black}{Y}|$, $\textcolor{orange}{X}^{-1}$

Exemple de vérification en fréquence

Une implémentation de notre filtre-exemple :



$$\begin{aligned}\gamma_1 &= 89 \cdot 2^{-8} \\ \gamma_2 &= 43 \cdot 2^{-7} \\ \gamma_3 &= 11 \cdot 2^{-7}\end{aligned}$$

Les spécifications :

$$\left\{ \begin{array}{l} 10^{\frac{1}{20}} \leq |H(e^{j\omega})| \leq 10^{\frac{3}{20}} \quad \forall \omega \in [0, \frac{1}{10}\pi] \quad (\text{passe-bande}) \\ |H(e^{j\omega})| \leq 10^{-\frac{20}{20}} \quad \forall \omega \in [\frac{3}{10}\pi, \pi] \quad (\text{coupe-bande}) \end{array} \right.$$

Résultat : ✓ le filtre implémenté respecte les spécifications.

Temps de vérification : 1.9 s

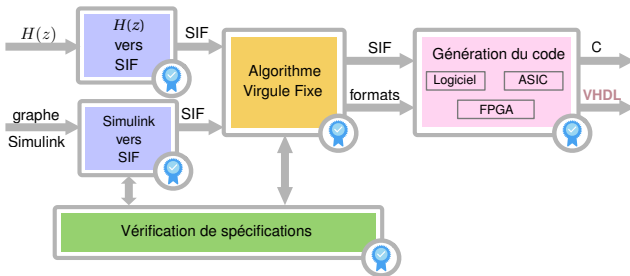
Exemple de vérification

Pendant ces 1.9 secondes...

- Arithmétique rationnelle
 - Réécriture de $H(z)$ en $f(\xi)$
 - Calcul de suites de Sturm
- Arithmétique d'intervalles
 - Inclusions vérifiées de valeurs propres
 - Borne de troncature N
- Arithmétique multi-précision dynamique
 - Calcul de cercles de Gershgorin
 - Évaluation du WCPG
- Arithmétique virgule flottante IEEE 754
 - Calcul de valeurs propres avec LAPACK

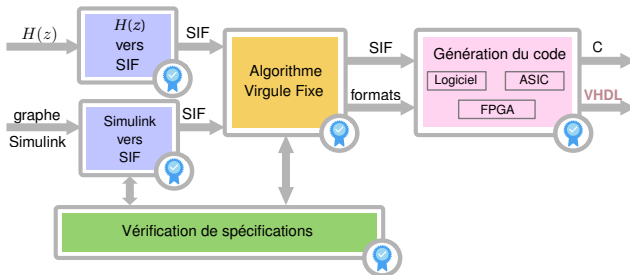
... pour vérifier une implémentation en virgule fixe !

En résumé



- Nous avons rendu l'implémentation de filtres fiable et automatique
 - Utilisation rigoureuse d'arithmétiques diverses
 - Implémentations virgule fixe vérifiant des bornes d'erreur a priori et en fréquentiel et en temporel
- Nous avons étendu la chaîne d'outils du générateur de filtres
 - Nouvelles conversions depuis d'autres formats d'entrée
 - Branchement avec FloPoCo pour l'implémentation FPGA

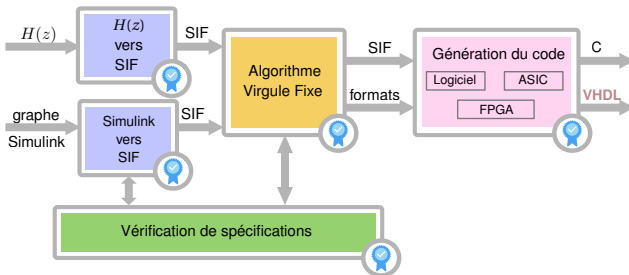
Développement de logiciels



- Outils open-source
- Implémentation en C/C++, Sollya, Python et Matlab
- ≈ 15000 lignes de code
- Génération de VHDL avec FloPoCo

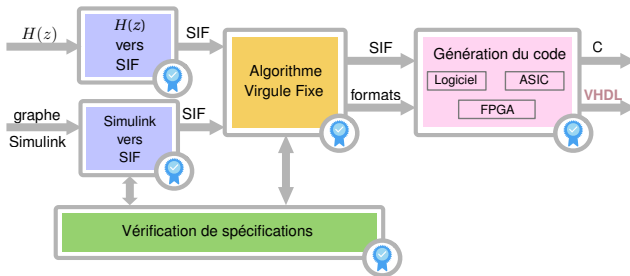
FIXIF
TOOLBOX

Perspectives : demain à 9h00...



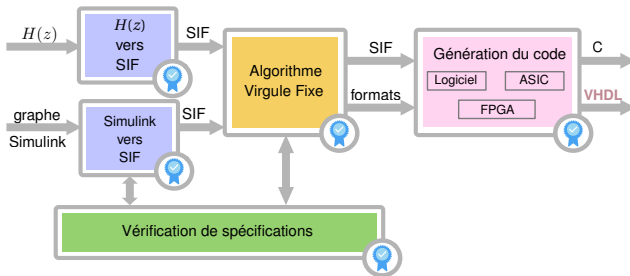
- Gagner un peu de place
 - Résoudre le problème « off-by-one » ($0 \leq \hat{m}_y - m_y \leq 1$)
- Gagner plus de place
 - Prendre en compte des propriétés supplémentaires des signaux d'entrée (propriétés spectrales)
- Étudier divers algorithmes selon plusieurs métriques
 - LUTs, surface
 - précision

Perspectives : moyen terme



- Implémentation de filtres fiables
 - Intégrer les méthodes de conception des fonctions de transfert
 - Relâcher les contraintes de spécifications fréquentielles
- Outils arithmétiques
 - Calculer des valeurs propres d'une matrice en précision variée
 - Résoudre des équations de Lyapunov, etc.
- Optimisation
 - Entourer le générateur avec des boucles d'optimisation

Perspectives : long terme



- Côté arithmétique
 - Outils numériques pour l'algèbre linéaire
 - Évaluation des approximations rationnelles
- Côté arithmétique pour le traitement du signal
 - Concevoir la fonction de transfert avec les meilleurs coefficients quantifiés
 - Considérer les filtres non-linéaires, Kalman, etc.

Merci

Thank you

Спасибо

Дякую

Liste de publications

- A.V., C. Lauter., T. Hilaire and M. Mezzarobba Rigorous Determination of Recursive Filter Fixed-Point Implementation with Input Signal Frequency Specifications In *ASILOMAR'51*, Nov 2017
- T. Hilaire, A.V. Error analysis methods for the fixed-point implementation of linear systems. In *IEEE SiPS 2017*, Oct 2017
- F. Qureshi, A. V., J. Takala and T. Hilaire. Multiplierless Unified Architecture for Mixed Radix-2/3/4 FFTs. In *EUSIPCO'25*, Aug 2017
- A.V., C. Lauter and T. Hilaire. Reliable verification of digital implemented filters against frequency specifications. In *IEEE ARITH'24*, July 2017
- T. Hilaire, A.V. and M. Ravoison. Reliable fixed-point implementation of linear data-flows. In *IEEE SiPS 2016*, Oct 2016
- A.V., T. Hilaire and C. Lauter. Determining fixed-point formats for a digital filter implementation using the worst-case peak gain measure. In *ASILOMAR'49*, Nov 2015
- A.V. and T. Hilaire. Fixed-point implementation of lattice wave digital filter: Comparison and error analysis. In *EUSIPCO'23*, Sep 2015
- A.V., T. Hilaire, and C. Lauter. Reliable evaluation of the worst-case peak gain matrix in multiple precision. In *IEEE ARITH'22*, Jun 2015
- F. de Dinechin, T. Hilaire, M. Istoan, A.V. LTI Filters Computed Just Right Technical report

SIF

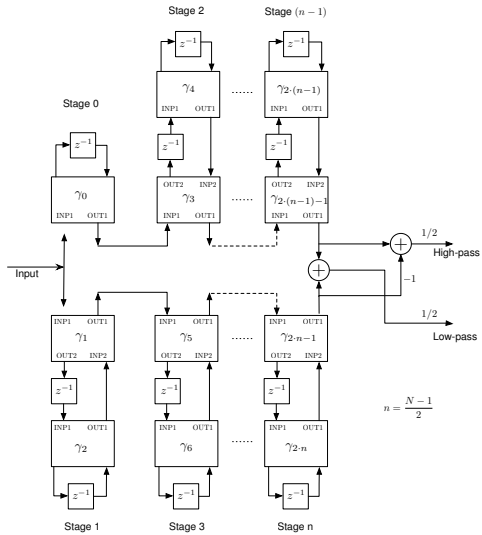
A MIMO LTI system in SIF representation is characterized by

$$\begin{pmatrix} \mathbf{J} & \mathbf{0} & \mathbf{0} \\ -\mathbf{K} & \mathbf{I}_n & \mathbf{0} \\ -\mathbf{L} & \mathbf{0} & \mathbf{I}_p \end{pmatrix} \begin{pmatrix} \mathbf{t}(k+1) \\ \mathbf{x}(k+1) \\ \mathbf{y}(k) \end{pmatrix} = \begin{pmatrix} \mathbf{0} & \mathbf{M} & \mathbf{N} \\ \mathbf{0} & \mathbf{P} & \mathbf{Q} \\ \mathbf{0} & \mathbf{R} & \mathbf{S} \end{pmatrix} \begin{pmatrix} \mathbf{t}(k) \\ \mathbf{x}(k) \\ \mathbf{u}(k) \end{pmatrix}$$

By rewriting we obtain

$$\left\{ \begin{array}{rcl} \mathbf{J}\mathbf{t}(k+1) & = & \mathbf{M}\mathbf{x}(k) + \mathbf{N}\mathbf{u}(k) \\ \mathbf{x}(k+1) & = & \mathbf{K}\mathbf{t}(k+1) + \mathbf{P}\mathbf{x}(k) + \mathbf{Q}\mathbf{u}(k) \\ \mathbf{y}(k) & = & \mathbf{L}\mathbf{t}(k+1) + \mathbf{R}\mathbf{x}(k) + \mathbf{S}\mathbf{u}(k) \end{array} \right.$$

Lattice Wave Digital Filters



The error filter \mathcal{H}_Δ

Denote

$$\boldsymbol{\varepsilon}(k) = \begin{pmatrix} \varepsilon_x(k) \\ \varepsilon_y(k) \end{pmatrix}$$

$$\Delta_x(k) = \mathbf{x}^\diamondsuit(k) - \mathbf{x}(k)$$

$$\Delta_y(k) = \mathbf{y}^\diamondsuit(k) - \mathbf{y}(k)$$

Then, the filter $\mathcal{H}_\Delta = \mathcal{H} - \mathcal{H}^\diamondsuit$ is

$$\mathcal{H}_\Delta \begin{cases} \Delta_x(k+1) &= A\Delta_x(k) + \begin{pmatrix} I & 0 \end{pmatrix} \boldsymbol{\varepsilon}(k) \\ \Delta_y(k) &= C\Delta_x(k) + \begin{pmatrix} 0 & I \end{pmatrix} \boldsymbol{\varepsilon}(k) \end{cases}$$

Worst-Case Peak Gain

Sensitive real-life filter

Input: A highly sensitive 5th order transfer function from industrial application¹.

Problem: given inputs from interval $[-1.125; 1.125]$, determine the interval for output variables.

Result:

- Naive WCPG, i.e. summing 1000 terms in double precision:
 $\bar{y} = 1.6238497 \times 1.125 = 0.8693\dots$

- Our WCPG with $\varepsilon = 2^{-53}$:

$$\bar{y} = 1.9997191 \times 1.125 = 1.1697\dots$$

¹Obtained from Xilinx

Worst-Case Peak Gain

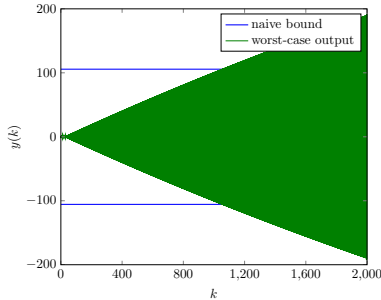
Random filter

Input: Consider a stable 5th order random SISO filter

Problem: given inputs from interval $[-1; 1]$, determine the interval for output variables.

Result:

- Naive WCPG (1000 terms in double precision) $\bar{y} = 105.66\dots$
- Our WCPG with $\varepsilon = 2^{-53}$: $\bar{y} = 772.48\dots$



Worst-Case Peak Gain

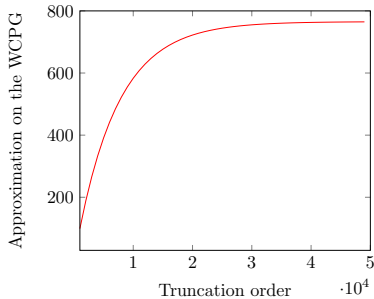
Random filter

Input: Consider a stable 5th order random SISO filter

Problem: given inputs from interval $[-1; 1]$, determine the interval for output variables.

Result:

- Naive WCPG (1000 terms in double precision) $\bar{y} = 105.66\dots$
- Our WCPG with $\varepsilon = 2^{-53}$: $\bar{y} = 772.48\dots$



Worst-Case Peak Gain

Examples

Example 1: comes from Control Theory, describes a controller of vehicle longitudinal oscillation

Example 2: 12th-order Butterworth filter

sizes n , p and q	Example 1			Example 2		
	$n = 10$,	$p = 11$,	$q = 1$	$n = 12$,	$p = 1$,	$q = 25$
$1 - \rho(\mathbf{A})$	1.39×10^{-2}			8.65×10^{-3}		
$\max(\mathbf{S}_N)$	3.88×10^1			5.50×10^9		
$\min(\mathbf{S}_N)$	1.29×10^0			1.0×10^0		
ε	2^{-5}	2^{-53}	2^{-600}	2^{-5}	2^{-53}	2^{-600}
N	220	2153	29182	308	4141	47811
Inversion iterations	0	2	4	2	3	5
overall max precision (bits)	212	293	1401	254	355	1459
\mathbf{V}^{-1} max precision (bits)	106	173	727	148	204	756
\mathbf{P}_N max precision (bits)	64	84	639	64	86	640
\mathbf{S}_N max precision (bits)	64	79	630	64	107	658
Overall execution time (sec)	0.11	1.53	60.06	0.85	11.54	473.20

Transfer Function of a State-Space

Transfer function of a single-input single-output state-space \mathcal{S} :

$$H(z) = \mathbf{c}(z\mathbf{I} - \mathbf{A})^{-1}\mathbf{b} + d$$

Using the eigendecomposition $\mathbf{A} = \mathbf{X}\mathbf{E}\mathbf{X}^{-1}$:

$$H(z) = \frac{P(z)}{Q(z)} + d$$

$$P(z) = \sum_{i=1}^n (\mathbf{c}\mathbf{X})_i (\mathbf{X}^{-1}\mathbf{b})_i \prod_{j \neq i} (z - \lambda_j)$$

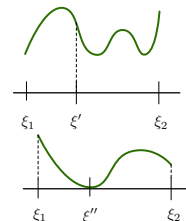
$$Q(z) = \prod_{j=1}^n (z - \lambda_j)$$

We compute an approximation $\widehat{H}(z)$ in Multiple Precision arithmetic with `mpmath`.

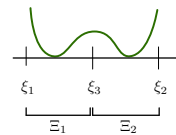
Verification of non-negativity

To verify $f(\xi) \geq 0, \forall \xi \in \Xi = [\xi_1, \xi_2] \subseteq [0, 1]$ we check if

- (i) $f(\xi)$ has no zeros
 $f(\xi') > 0$ for some $\xi' \in [\xi_1, \xi_2]$



- (ii) $f(\xi)$ has one zero
 $f(\xi_1) > 0$ and $f(\xi_2) > 0$



- (iii) interval Ξ can be split into subintervals s.t. (i) or (ii) are satisfied for every subinterval

We use Sollya tool for the implementation

- Number of zeros: Sturm's theorem
- Evaluations: interval multiple precision arithmetic

Verification of specifications

Sturm's technique

Sturm's sequence is a sequence of polynomials $p_0(x), \dots, p_m(x)$:

$$p_0(x) = p(x)$$

$$p_1(x) = p'(x)$$

$$p_2(x) = -\text{rem}(p_0, p_1) = p_1(x)q_0(x) - p_0(x),$$

$$p_3(x) = -\text{rem}(p_1, p_2) = p_2(x)q_1(x) - p_1(x),$$

...

$$0 = -\text{rem}(p_{m-1}, p_m)$$

Verification of specifications

Numerical examples

Input: four realizations of the same filter

Problem: verify realizations after coefficient quantization to 32/16/8 bits

Results:

	wordlength	32	16	8
DFIIlt	margin	✓	unstable	unstable
	time	12.49s	-	-
ρ DFIIlt	margin	✓	✓	4.68e-3 dB
	time	13.12s	4.19s	104.01s
State-Space	margin	6.16e-10 dB	✓	6.71e-1 dB
Balanced	time	12.27s	18.18s	92.05s
Lattice Wave	margin	3.80e-10 dB	✓	1.73e-2 dB
	time	920.88s	4.58s	200.83s

Verification of specifications

Numerical examples

Input: four simple frequency specifications

Problem: Verify and compare transfer function design methods.

Results: comparison of SciPy in Python and Matlab

		Butterworth	Chebyshev	Elliptic
		margin (dB)	margin (dB)	margin (dB)
lowpass	Matlab	1.29e-17	7.93e-17	✓
	SciPy	2.14e-15	4.48e-2	4.48e-2
highpass	Matlab	2.77e-16	6.94e-17	4.48e-2
	SciPy	3.02e-15	2.29e-16	4.48e-2
bandpass	Matlab	3.04e-17	✓	✓
	SciPy	✓	4.48e-2	4.48e-2
bandstop	Matlab	4.59e-16	3.09e-15	✓
	SciPy	✓	6.36e-15	7.02e-6

Verification of specifications

Numerical examples

Filter implementation: 14th order bandpass filter
Specifications:

$$\left\{ \begin{array}{l} 0\text{dB} \leq \begin{cases} H(e^{i\omega}) \\ H(e^{i\omega}) \\ H(e^{i\omega}) \end{cases} \leq \begin{cases} -80\text{dB} \\ 1 - 10^{-4}\text{dB} \\ -80\text{dB} \end{cases} \quad \begin{cases} \forall \omega \in [0, 17\text{kHz}] \\ \forall \omega \in [21\text{kHz}, 25\text{kHz}] \\ \forall \omega \in [27\text{kHz}, 30\text{kHz}] \end{cases} \\ \text{(stopband)} \\ \text{(passband)} \\ \text{(stopband)} \end{array} \right.$$

Verification result: implemented filter *does not* pass the verification against frequency constraints

Verification time: 53 s

Verification of specifications

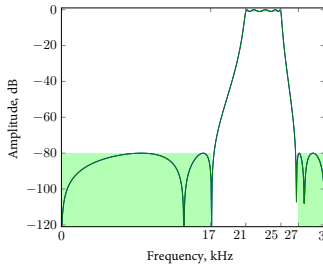
Numerical examples

Filter implementation: 14th order bandpass filter

Verification result: implemented filter *does not* pass the verification against frequency constraints

Verification time: 53 s

Frequency response:



Verification of specifications

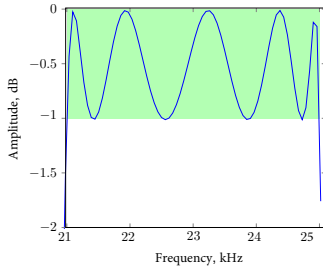
Numerical examples

Filter implementation: 14th order bandpass filter

Verification result: implemented filter *does not* pass the verification against frequency constraints

Verification time: 53 s

Frequency response:



Verification of specifications

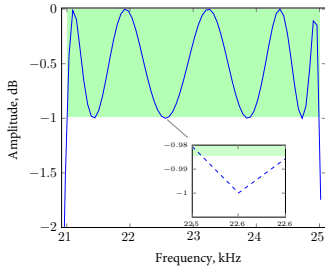
Numerical examples

Filter implementation: 14th order bandpass filter

Verification result: implemented filter *does not* pass the verification against frequency constraints

Verification time: 53 s

Frequency response:



Binding with FloPoCo

FloPoCo:

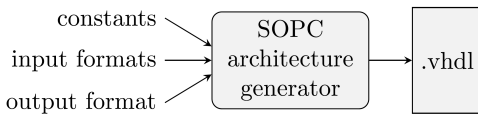


Figure: Interface to a Sum-Of-Product-by-Constant generator

Our tool: we deduce a lower bound on the error of computation of each Sum-of-Product s.t. the error-bound *on the filter's output* is respected.

- Push-button
- Can implement any structure
- No need to quantize coefficients
- Reliable

Worst-Case Peak Gain

Powering matrix A

$$\sum_{k=0}^N |C \mathbf{A}^k B|$$

The diagram shows two examples of matrix multiplication. In the first example, two red square matrices are multiplied, resulting in a matrix where most entries are zero (cancellation). In the second example, two blue square matrices with a diagonal pattern are multiplied, resulting in a matrix with fewer zero entries (less cancellation).

\times $=$ cancellation

\times $=$ less cancellation

$$A = XEX^{-1}$$

$$V \approx X \text{ and } T \approx E$$

$$T \approx V^{-1} \times A \times V$$

$$A^k \approx V \times T^k \times V^{-1}$$

Worst-Case Peak Gain

Step 3

$$\left| \sum_{k=0}^N \left| \mathbf{C} \mathbf{V} \mathbf{T}^k \mathbf{V}^{-1} \mathbf{B} \right| - \sum_{k=0}^N \left| \mathbf{C}' \mathbf{T}^k \mathbf{B}' \right| \right| \leq \varepsilon_3$$

$$\begin{aligned} & \sum_{k=0}^{\infty} \left| \mathbf{C} \mathbf{A}^k \mathbf{B} \right| \\ & \downarrow \\ & \sum_{k=0}^N \left| \mathbf{C} \mathbf{A}^k \mathbf{B} \right| \\ & \downarrow \\ & \sum_{k=0}^N \left| \mathbf{C} \mathbf{V} \mathbf{T}^k \mathbf{V}^{-1} \mathbf{B} \right| \\ & \downarrow \\ & \sum_{k=0}^N \left| \mathbf{C}' \mathbf{T}^k \mathbf{B}' \right| \end{aligned}$$

Step 3 Compute the products $\mathbf{C} \mathbf{V}$ and $\mathbf{V}^{-1} \mathbf{B}$ such that the propagated error of matrix multiplications is bounded by ε_3 .

Worst-Case Peak Gain

Step 4

$$\left| \sum_{k=0}^N |C' \mathbf{T}^k B'| - \sum_{k=0}^N |C' \mathbf{P}_k B'| \right| \leq \varepsilon_4$$

$$\mathbf{P}_0 := \mathbf{I}$$

$$\mathbf{P}_k := \mathbf{T} \otimes \mathbf{P}_{k-1}$$

$$\sum_{k=0}^{\infty} |C \mathbf{A}^k B|$$

$$\sum_{k=0}^N |C \mathbf{A}^k B|$$

$$\sum_{k=0}^N |C V \mathbf{T}^k V^{-1} B|$$

$$\sum_{k=0}^N |C' \mathbf{T}^k B'|$$

$$\sum_{k=0}^N |C' \mathbf{P}_k B'|$$

Step 4 Compute the powers \mathbf{P}_k of matrix \mathbf{T} such that the propagated error of matrix multiplications is bounded by ε_4 .

Worst-Case Peak Gain

Step 5

$$\left| \sum_{k=0}^N |\mathbf{C}' \mathbf{P}_k \mathbf{B}'| - \sum_{k=0}^N |\mathbf{L}_k| \right| \leq \varepsilon_5$$

$$\mathbf{L}_k := \mathbf{C}' \otimes (\mathbf{P}_k \otimes \mathbf{B}')$$

Step 5 Compute on each step the matrix product $\mathbf{C}' \mathbf{T}^k \mathbf{B}'$ such the overall error of these multiplications on each step is bounded by ε_5 .

$$\begin{array}{c}
 \sum_{k=0}^{\infty} |\mathbf{C} \mathbf{A}^k \mathbf{B}| \\
 \downarrow \\
 \sum_{k=0}^N |\mathbf{C} \mathbf{A}^k \mathbf{B}| \\
 \downarrow \\
 \sum_{k=0}^N |\mathbf{C} \mathbf{V} \mathbf{T}^k \mathbf{V}^{-1} \mathbf{B}| \\
 \downarrow \\
 \sum_{k=0}^N |\mathbf{C}' \mathbf{T}^k \mathbf{B}'| \\
 \downarrow \\
 \sum_{k=0}^N |\mathbf{C}' \mathbf{P}_k \mathbf{B}'|
 \end{array}$$

Worst-Case Peak Gain

Step 5

$$\left| \sum_{k=0}^N |\mathbf{C}' \mathbf{P}_k \mathbf{B}'| - \sum_{k=0}^N |\mathbf{L}_k| \right| \leq \varepsilon_5$$

$$\mathbf{L}_k := \mathbf{C}' \otimes (\mathbf{P}_k \otimes \mathbf{B}')$$

Step 5 Compute on each step the matrix product $\mathbf{C}' \mathbf{T}^k \mathbf{B}'$ such the overall error of these multiplications on each step is bounded by ε_5 .

$$\begin{array}{c}
 \sum_{k=0}^{\infty} |\mathbf{C} \mathbf{A}^k \mathbf{B}| \\
 \downarrow \\
 \sum_{k=0}^N |\mathbf{C} \mathbf{A}^k \mathbf{B}| \\
 \downarrow \\
 \sum_{k=0}^N |\mathbf{C} \mathbf{V} \mathbf{T}^k \mathbf{V}^{-1} \mathbf{B}| \\
 \downarrow \\
 \sum_{k=0}^N |\mathbf{C}' \mathbf{T}^k \mathbf{B}'| \\
 \downarrow \\
 \sum_{k=0}^N |\mathbf{C}' \mathbf{P}_k \mathbf{B}'| \\
 \downarrow \\
 \sum_{k=0}^N |\mathbf{L}_k|
 \end{array}$$

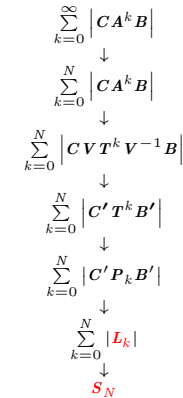
Worst-Case Peak Gain

Step 6

$$\left| \sum_{k=0}^N |\mathbf{L}_k| - \mathbf{S}_N \right| \leq \varepsilon_6$$

$$\mathbf{S}_k := \mathbf{S}_{k-1} \oplus |\mathbf{L}_k|$$

Step 6 Compute the absolute value of matrix and accumulate it in the result such that the error is bounded by ε_6 .



Worst-Case Peak Gain Algorithm

Taking $\varepsilon_i = \frac{1}{6}\varepsilon$ we obtain that $\varepsilon_1 + \varepsilon_2 + \dots + \varepsilon_6 \leq \varepsilon$ hence the overall error bound is satisfied.

A floating-point evaluation of the WCPG:

Step 1: Compute N

Step 2: Compute V

$$T \leftarrow \text{inv}(V) \otimes (A \otimes V)$$

Step 3: $B' \leftarrow \text{inv}(V) \otimes B$

$$C' \leftarrow C \otimes V$$

$$S_{-1} \leftarrow |D|, P_{-1} \leftarrow I_n$$

for k **from** 0 **to** N **do**:

Step 4: $P_k \leftarrow T \otimes P_{k-1}$

Step 5: $L_k \leftarrow C' \otimes (P_k \otimes B')$

Step 6: $S_k \leftarrow S_{k-1} \oplus \text{abs}(L_k)$

end for

Worst-Case Peak Gain

Basic bricks

- `multiplyAndAdd(A, B, C, δ)`: for $A \in \mathbb{C}^{p \times n}$, $B \in \mathbb{C}^{n \times q}$, $C \in \mathbb{C}^{p \times q}$, computes a matrix $D \in \mathbb{C}^{p \times q}$ such that

$$D = A \cdot B + C + \Delta,$$

where the error-matrix Δ is bounded by $|\Delta| < \delta$, for a certain scalar absolute error bound δ , given in argument to the algorithm.

The algorithm performs an error-free scalar multiplication and uses a modified software-implemented Kulisch-like accumulator.

Worst-Case Peak Gain

Basic bricks

- `sumAbs(A, B, δ)`: for $A \in \mathbb{R}^{p \times n}$, $B \in \mathbb{C}^{p \times n}$, computes a matrix $C \in \mathbb{R}^{p \times n}$ such that

$$C = A + |B| + \Delta,$$

where the error matrix Δ is bounded by $|\Delta| < \delta$, for a certain scalar absolute error bound δ , given in argument to the algorithm.

Worst-Case Peak Gain

Basic bricks

- $\text{inv}(V, \delta)$: for a complex square matrix $V \in \mathbb{C}^{n \times n}$, computes a matrix $U \in \mathbb{C}^{n \times n}$ such that

$$U = V^{-1} + \Delta,$$

where the error matrix Δ is bounded by $|\Delta| < \delta$, for a certain scalar absolute error bound δ , given in argument to the algorithm.

The algorithm is based on Newton-Raphson matrix iteration, requires a seed matrix in argument and works on certain conditions, easily verified in our case.

Worst-Case Peak Gain

Basic bricks

- `frobeniusNormUpperBound(A , δ)`: for $A \in \mathbb{C}^{p \times n}$ computes f an upper bound on the Frobenius norm of A such that

$$f = \|A\|_F + \gamma$$

where $0 \leq \gamma < \delta$, for a certain scalar absolute error bound δ , given in argument to the algorithm.

Interval Worst-Case Peak Gain

Given a state-space system $\mathcal{H} = ([\mathbf{A}], [\mathbf{B}], [\mathbf{C}], [\mathbf{D}])$, compute an approximation \mathbf{S} on the WCPG

$$\langle\langle \mathcal{H} \rangle\rangle = |[\mathbf{D}]| + \sum_{k=0}^{\infty} |[\mathbf{C}][\mathbf{A}]^k[\mathbf{B}]|$$

such that two properties are ensured:

- bound property: $\langle\langle \mathcal{H} \rangle\rangle \leq \mathbf{S}$ element-by-element;
- if coefficients' radii $\rightarrow 0$ and precision $\rightarrow \infty$ then the exact $\langle\langle \mathcal{H} \rangle\rangle$ is contained in an ε neighborhood of the approximation \mathbf{S} for an a priori given small $\varepsilon > 0$.

Interval Worst-Case Peak Gain

Computing the eigensystem of interval matrix

Eigenvalues of interval matrix

Compute enclosures $\lambda^{\mathcal{I}}$ such that $\forall \mathbf{A} \in \mathbf{A}^{\mathcal{I}}, \lambda(\mathbf{A}) \in \lambda^{\mathcal{I}}$

Approach

Following the works of Xu and Rachid (1996) and Rohn(1998), use the Generalized Gershgorin's Circles theorem.

Eigenvectors of interval matrix

Given the enclosures on eigenvalues $\lambda^{\mathcal{I}}$, compute enclosures $\mathbf{V}^{\mathcal{I}}$ such that $\forall \lambda \in \lambda^{\mathcal{I}}, \forall \mathbf{A} \in \mathbf{A}^{\mathcal{I}}$ if $\mathbf{A}\lambda = \mathbf{A}\mathbf{V}$, then $\mathbf{V} \in \mathbf{V}^{\mathcal{I}}$.

Approach

Use Rump's theory of Verified Inclusions.